



БИООРГАНИЧЕСКАЯ ХИМИЯ

том 5 * № 9 * 1979

УДК 547.963.32.07

СИНТЕЗ ПРОМОТОРНОЙ ОБЛАСТИ ДНК БАКТЕРИОФАГА *fd* *

1. ХИМИЧЕСКИЙ СИНТЕЗ ОЛИГОДЕЗОКСИРИБОНУКЛЕОТИДОВ,
СООТВЕТСТВУЮЩИХ 5'-КОНЦЕВОМУ УЧАСТКУ «МИНУС»-ЦЕПИ ПРОМОТОРА

Ефимов В. А., Чахмажчева О. Г.

Институт биоорганической химии им. М. М. Шемякина
Академии наук СССР, Москва

Осуществлен синтез двух олигодезоксирибонуклеотидов $d(A-A-A-T-C-A-G-G-T-C-T-T)$ и $d(A-C-C-C-T-G-T-C-T-A)$, составляющих в совокупности участок $(+15) - (-8)$ «минус»-цепи промоторной области G2 ДНК бактериофага *fd*. Синтез проводили блочным фосфодиэфирным методом. Структура полученных соединений была подтверждена методом нуклеотидных карт.

Одним из наиболее интересных примеров нуклеиново-белкового узнавания является взаимодействие РНК-полимеразы с промоторными областями ДНК при инициации процесса транскрипции генетической информации в клетке. Расшифровка нуклеотидной последовательности промоторов ДНК некоторых бактерий и вирусов [2], а также исследования по установлению первичной структуры РНК-полимеразы *E. coli* [3] делают возможным структурно-функциональное изучение как этого фермента, так и промоторных участков ДНК [2, 4–8].

Успех этой работы в первую очередь определяется доступностью обоих участков во взаимодействии компонентов в индивидуальном виде и необходимых количествах. Наибольшие возможности для исследования взаимодействия РНК-полимеразы с промоторами предоставляет химико-ферментативный синтез последних [6]. Применяя синтетический подход, можно систематически модифицировать различные участки ДНК-промотора, например осуществлять делеции в различных его частях или заменять отдельные пары оснований (и даже целые фрагменты), вводить в его состав модифицированные аналоги нуклеотидов и с помощью ковалентного сшивания таких модифицированных фрагментов с белком локализовать точки связывания РНК-полимеразы с нукleinовой кислотой. Кроме того, возможность изменения длины промоторного участка значительно облегчает определение его размеров.

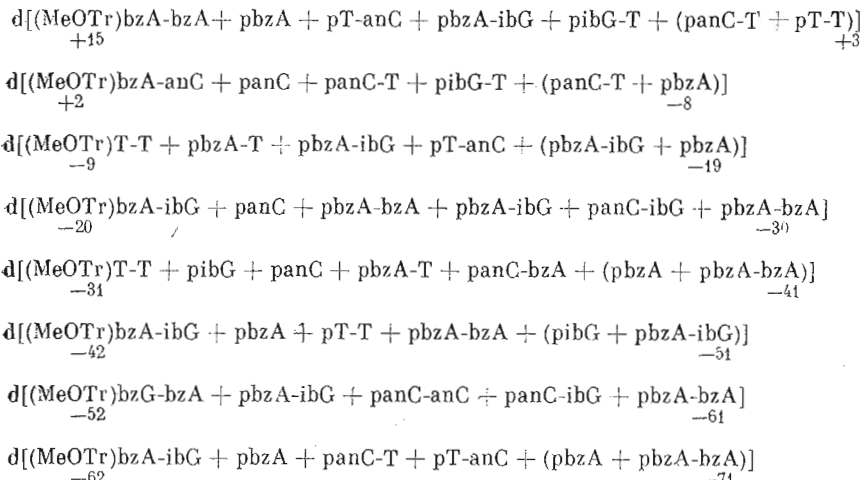
С целью изучения функциональной топографии РНК-полимеразы *E. coli* мы предприняли химико-ферментативный синтез промоторной области G2 ДНК бактериофага *fd* [9]. Синтезируемый 86-звенный двухцепочный фрагмент ДНК содержит 71 пару оснований в районе, предшествующем точке начала считывания мРНК, и 15 пар в постинициаци-

* Краткое сообщение см. [1]. В статье использованы следующие нестандартные сокращения: TEAB – бикарбонат триэтиламмония, TPS – 2,4,6-триизопропилбензоль-сульфохлорид.

онном районе. Выбор объекта синтеза был связан прежде всего с тем, что этот промотор являлся одним из наиболее сильных промоторов, структура которых была установлена к моменту начала работы независимо двумя группами исследователей [9, 10], что делало ее достаточно достоверной. Кроме того, природная ДНК бактериофага *fd* легкодоступна в индивидуальном виде в больших количествах и имеет однонитчатую кольцевую форму. Последнее обстоятельство послужило фундаментом для разработки двух новых химико-ферментативных подходов к получению двухцепочечных участков ДНК, которые и были реализованы нами на примере синтеза этой промоторной области. Оба эти подхода основаны на способности цепей олиго- и полинуклеотидов образовывать упорядоченные двухспиральные комплексы с комплементарными участками одноцепочечных ДНК и предполагают химико-ферментативный синтез только «минус»-цепи промотора, в качестве же второй цепи мы использовали соответствующий фрагмент природной ДНК фага *fd* [1].

Для получения (–)-цепи промоторной области последовательность этого 86-звенного одноцепочечного полинуклеотида была условно разбита на восемь сегментов (*A*)–(*H*) (рис. 1), химический синтез которых проводили блочным фосфодиэфирным методом. Схемы синтеза всех олигонуклеотидов составлялись одновременно с учетом общих правил стратегии блочного метода [11], а также возможности многократного использования одних и тех же ди- и тринуклеотидных блоков при получении разных сегментов. Так, динуклеотиды d(pbzA-bzA) и d(pbzA-ibG) встречаются по шесть раз, динуклеотид d(panC-T) – четыре раза, тринуклеотиды d(pbzA-bzA-bzA) и d[(MeOTr)bzA-ibG-bzA] – по два раза и т. д. Это позволило сократить общее число межнуклеотидных конденсаций с 78 до 54, т. е. более чем на 30% (см. схему 1).

Схема 1



В настоящем сообщении описывается химический синтез двух олигодезоксирибонуклеотидов d(A-A-A-T-C-A-G-G-T-C-T-T-T) (*A*) и d(A-C-C-C-T-G-T-C-T-A) (*B*), соответствующих в совокупности участку (+15) – (–8) «минус»-цепи промоторной области.

Защищенный тридекануклеотид (VI) был получен из 5'-монометокситритил-N-бензоилдезоксиаденозина последовательным наращиванием двумя моно-, тремя ди- и одним тетрануклеотидным блоками (схема 2). Промежуточными соединениями при синтезе декануклеотида (XI) были ди- (VII), три- (VIII), пента- (IX) и гептануклеотид (X) (схема 3).

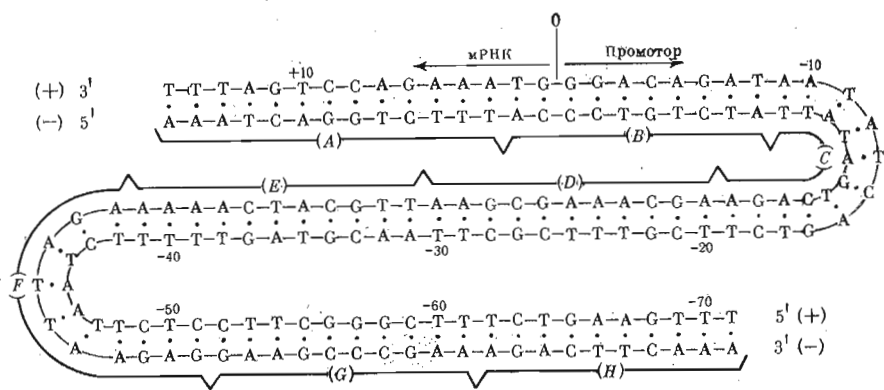


Рис. 1. Нуклеотидная последовательность промотора G2 ДНК бактериофага *fd* и разбивка «минус»-цепи на сегменты

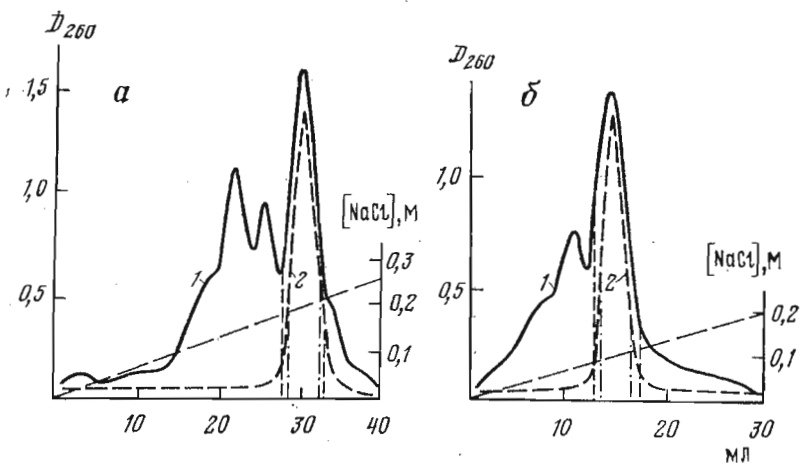


Рис. 2. Выделение и рехроматография незащищенных сегментов (A) и (B) на DEAE-целлюлозе (Cl^-) в градиенте концентрации NaCl в 7 М мочевине, колонка $0,2 \times 6$ см. *a* – выделение (A), 1 – хроматография при $\text{pH} 4,0$, скорость элюции $0,5$ мл/мин, выделенная фракция содержит 7 ОЕ₂₆₀ (A); 2 – рехроматография в тех же условиях, выделено 5 ОЕ₂₆₀ тридекануклеотида; *b* – выделение (B), 1 – хроматография при $\text{pH} 3,5$, скорость элюции $0,42$ мл/мин, центральная часть основного пика содержит $4,5$ ОЕ₂₆₀ (B), 2 – рехроматография в аналогичных условиях, выделено $3,7$ ОЕ₂₆₀ де-кануклеотида

В качестве конденсирующего реагента во всех реакциях образования межнуклеотидной связи был использован 2,4,6-триизопропилбензольсульфохлорид. Тритийсодержащие ди- и тринуклеотиды выделяли из реакционных смесей избирательной экстракцией органическими растворителями из разбавленных растворов в TEAB [12], в остальных синтезах разделение проводили с использованием ионообменной хроматографии на DEAE-целлюлозе. Промежуточные соединения были охарактеризованы хроматографическими и УФ-спектрами (табл. 1), а их мономерный состав определен после удаления защитных групп исчерпывающим гидролизом фосфодиэстеразой змеиного яда (табл. 2). Конечные сегменты (A) и (B) выделяли ионообменной хроматографией на DEAE-целлюлозе (рис. 2), 5'-fosфорилировали с помощью $[\gamma-^{32}\text{P}]ATP$ и T4-полинуклеотидкиназы [13] и их строение подтверждало частичным гидролизом фосфодиэстеразой змеиного яда с последующим фингерпринтированием [14] (рис. 3).

C x e m a 2

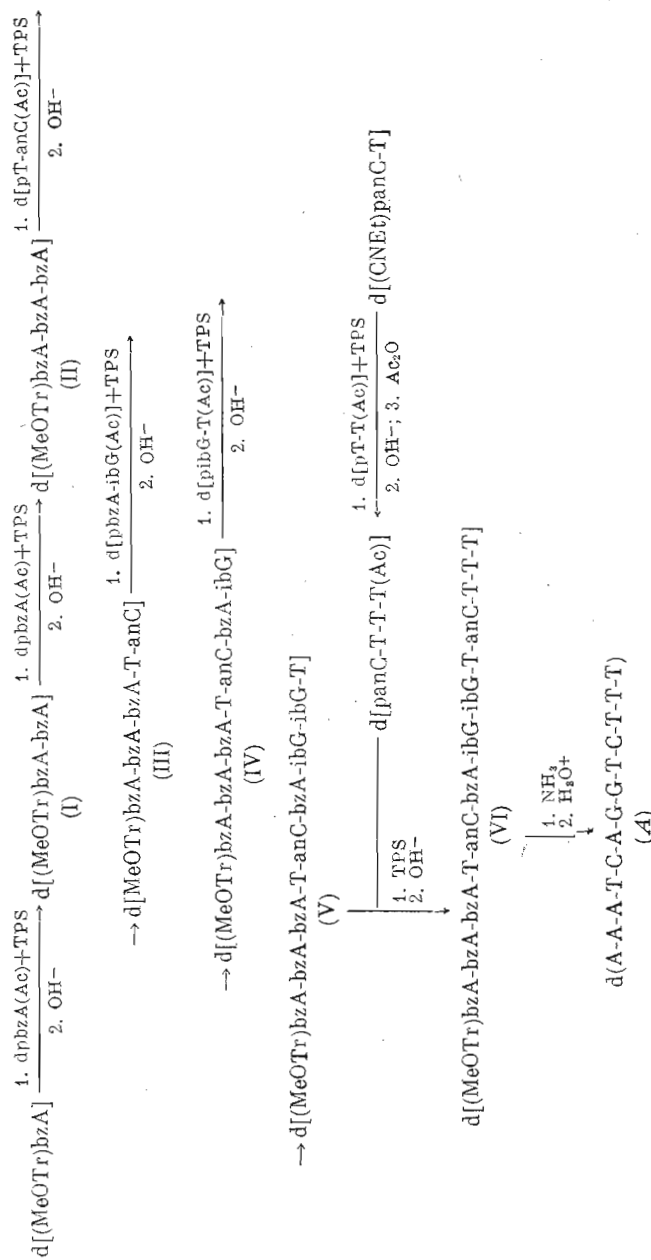


Схема 3

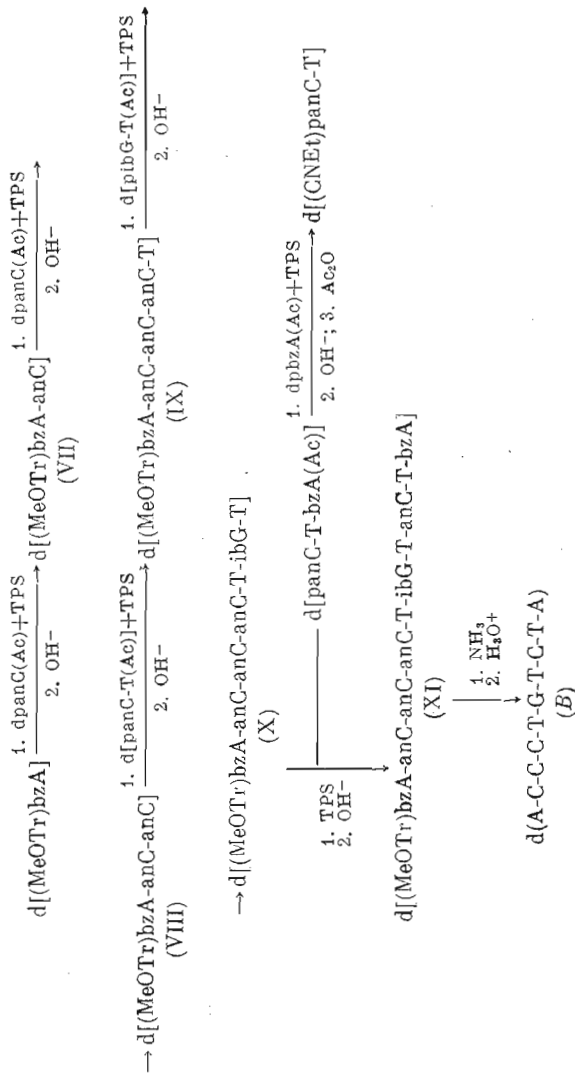


Таблица 1

Олигонуклеотид	OH-Компонент (ммоль)	Р-компонент (ммоль)	TPS, ммоль	Выход продукта, %	R_{dpt} в системе А	УФ-характеристики	
						$\lambda_{\text{макс}}^{\text{, нм}}$	$\lambda_{\text{мин}}^{\text{, нм}}$, $\frac{\varepsilon_{260}}{\varepsilon_{280}}$
d[(MeOTr)bzA-bzA] (I)	d[(MeOTr)bzA-bzA-bzA] (II)	d[pbzA(Ac)] (1,9)	3,8	70	2,45	280	250 0,99 1,44
d[(MeOTr)bzA-bzA-bzA-T-anC] (III)	d[(MeOTr)bzA-bzA-bzA-T-anC] (I) (0,7)	d[pbzA(Ac)] (1,8)	7,5	43,0	1,95	280	250 0,96 1,43
d[(MeOTr)bzA-bzA-bzA-T-anC] (III)	d[(MeOTr)bzA-bzA-bzA-T-anC] (II) (0,3)	d[pT-anC(Ac)] (1,2)	4,2	27,6	1,68	280	246 0,90 1,41
d[(MeOTr)bzA-bzA-bzA-T-anC-bzA-ibG] (IV)	d[(MeOTr)bzA-bzA-bzA-T-anC-bzA-ibG] (III) (0,083)	d[pbzA-ibG(Ac)] (0,6)	2,2	54,2	1,10	284, 265н	246 0,90 1,26
d[(MeOTr)bzA-bzA-bzA-T-anC-bzA-ibG-ibG-T] (V)	d[(MeOTr)bzA-bzA-bzA-T-anC-bzA-ibG-ibG-T] (IV) (0,045)	d[pbG-T(Ac)] (0,4)	1,5	19,0	0,57	282	245 0,87 1,18
d[(MeOTr)bzA-bzA-bzA-T-anC-bzA-ibG-ibG-T] (VI)	d[(MeOTr)bzA-bzA-bzA-T-anC-bzA-ibG-ibG-T] (V) (0,005)	d[panC-T-T-T(Ac)] (0,065)	0,4	18,0		280	245 0,84 1,14
d[(MeOTr)bzA-bzA-bzA-T-anC-bzA-ibG-T-anC-T] (VII)	d[(MeOTr)bzA-bzA-bzA-T-anC-bzA-ibG-T-anC-T] (VI) (0,07)	d[panC(Ac)] (7,85)	15,7	51,5	1,90	284	255 0,96 1,43
d[(MeOTr)bzA-bzA-bzA-T-anC-T] (VIII)	d[(MeOTr)bzA-bzA-bzA-T-anC-T] (VII) (0,4)	d[panC(Ac)] (1,65)	4,0	75,0	1,75	290	252 0,96 1,33
d[(MeOTr)bzA-bzA-bzA-T-anC-T] (IX)	d[(MeOTr)bzA-bzA-bzA-T-anC-T] (VIII) (0,246)	d[panC-T(Ac)] (0,60)	2,3	57,0	1,0	289	248 0,94 1,31
d[(MeOTr)bzA-bzA-bzA-T-anC-T-ibG-T] (X)	d[(MeOTr)bzA-bzA-bzA-T-anC-T-ibG-T] (IX) (0,07)	d[ibG-T(Ac)] (0,39)	1,5	71,0	0,85	282	244 0,88 1,27
d[(MeOTr)bzA-bzA-bzA-T-anC-T-ibG-T-anC-anC-T-ibG-T] (XI)	d[(MeOTr)bzA-bzA-bzA-T-anC-anC-T-ibG-T-anC-T-ibG-T] (X) (0,01)	d[panC-T-bzA(Ac)] (0,05)	0,3	16,0		284	240 0,89 1,12
d[(MeOTr)bzA-bzA-bzA-T-anC-T-ibG-T-anC-anC-T-ibG-T] (XI)	d[(MeOTr)bzA-bzA-bzA-T-anC-anC-T-ibG-T-anC-T-ibG-T] (X) (0,01)	d[(CNET)panC-T] (0,2)	2,0	24,0	0,80	280	239 0,86 1,35
d[(MeOTr)bzA-bzA-bzA-T-anC-T-ibG-T-anC-anC-T-ibG-T] (XI)	d[(MeOTr)bzA-bzA-bzA-T-anC-anC-T-ibG-T-anC-T-ibG-T] (X) (0,01)	d[(CNET)panC-T] (0,25)	2,5	53,0	0,52	273, 304н	235 0,71 1,09

Экспериментальная часть

В работе использованы мононуклеотиды производства СКТБ БАВ Главмикробиопрома (Новосибирск), а также фирмы Calbiochem (США), триизопропилбензосульфохлорид (Merck, ФРГ), ацетилцеллюлоза (Schleicher und Schüll, ФРГ), целлюлоза MN-300 и DEAE-целлюлоза MN-300 (Serva, ФРГ), DEAE-целлюлоза DE-23 (для колоночной хроматографии), DE-81 (бумага) и бумага № 1 (Whatman, Англия), сефадексы A-25 и G-50 (Pharmacia, Швеция), [$\gamma^{32}\text{P}$]ATP (10 КИ/ммоль, Amersham, Англия), щелочная фосфатааза *E. coli* (КФ 3.1.3.1), фосфодиэстераза змеиного яда (КФ 3.1.4.1) (Worthington, США). T4-полинуклеотидкиназа была выделена по методу [15]. Гомосмеси и пластинки с DEAE-целлюлозой приготовляли как описано в работе [16].

Хроматографию на бумаге проводили в системах этанол – 1 М ацетат аммония, 7 : 3 (рН 7,5) (А) и *n*-пропанол – 25% аммиак – вода, 55 : 10 : 35 (Б); ТСХ – на пластинках Silufol UV254 (ЧССР) в водном ацетонитриле. N-Защитные группы удаляли обработкой 25% водным NH₃ (2 мл на 20 ОЕ олигонуклеотида, 5 сут при 20° С) с последующим упариванием и хроматографией в системе Б. Для удаления монометокситритильной группы олигонуклеотиды, лишенные N-защитных групп, обрабатывали 80% уксусной кислотой (2 мл на 20 ОЕ олигонуклеотида, 1 ч при 20° С), раствор упаривали и хроматографировали в системе Б. Нуклеотидный состав полученных соединений определяли исчерпывающим гидролизом фосфодиэстеразой змеиного яда по методу [17].

d[(MeOTr)bzA], а также соответствующим образом защищенные мононуклеотиды и динуклеотиды, содержащие 5'-фосфатную группу, получали как описано Коралой и сотр. [18, 19].

1. Конденсации при образовании межнуклеотидных связей производили согласно следующей общей

Олигонуклеотид	$R_{\text{дир}}$ в системе Б	УФ-характеристики						Нуклеотидный состав			
		$\lambda_{\text{мин}},$ нм	$\frac{\varepsilon_{350}}{\varepsilon_{260}}$	$\frac{\varepsilon_{290}}{\varepsilon_{260}}$	$\frac{\varepsilon_{290}}{\varepsilon_{260}}$	d_A	d_{pA}	d_{pT}	d_{pG}	d_{pC}	
d(A-A)	1,34	260	233	0,80	0,84	0,22	1,0	1,0	2,0	1,0	1,0
d(A-A-A)	0,95	260	232	0,73	0,80	0,34	0,10	1,0	1,95	1,0	0,98
d(A-A-A-T-C)	0,60	263	232	0,80	0,81	0,40	0,15	0,89	2,84	1,9	2,0*
d(A-A-A-T-C-A-G)	0,35	257	230	0,84	0,80	0,39	0,13	1,0	2,80	1,9	2,0*
d(A-A-A-T-C-A-G-G-T)	0,17	259	231	0,86	0,83	0,42	0,20	1,0	4,0*	5,0*	2,0*
d(A-A-A-T-C-A-G-G-T-C-T-T-T) (A)	0,55	262	232	0,82	0,87	0,51	0,25	0,95	1,0	2,8	1,0
d(pC-T-A)	0,70	270	234	0,75	0,95	0,53	0,24	0,45	1,0	1,0	0,95
d(pC-T-T-T)	1,25	263	235	0,72	1,15	0,94	0,45	0,48	1,0	1,0	2,1
d(A-C)	1,0	265	228	0,77	0,86	0,48	0,15	0,32	1,0	1,0	2,8
d(A-C-C-C)	0,60	265	232	0,79	1,02	0,69	0,67	0,29	0,89	0,66	2,9*
d(A-C-C-T-G-T)	0,32	263	230	0,80	1,0	0,67	0,27	0,63	2,0*	1,0	4,0*
d(A-C-C-C-T-G-T-A) (B)	235	231	0,84	0,98	0,63	0,24	0,24	0,95	3,0*	1,0*	3,0*

* Определено на основании нуклеотидной карты.

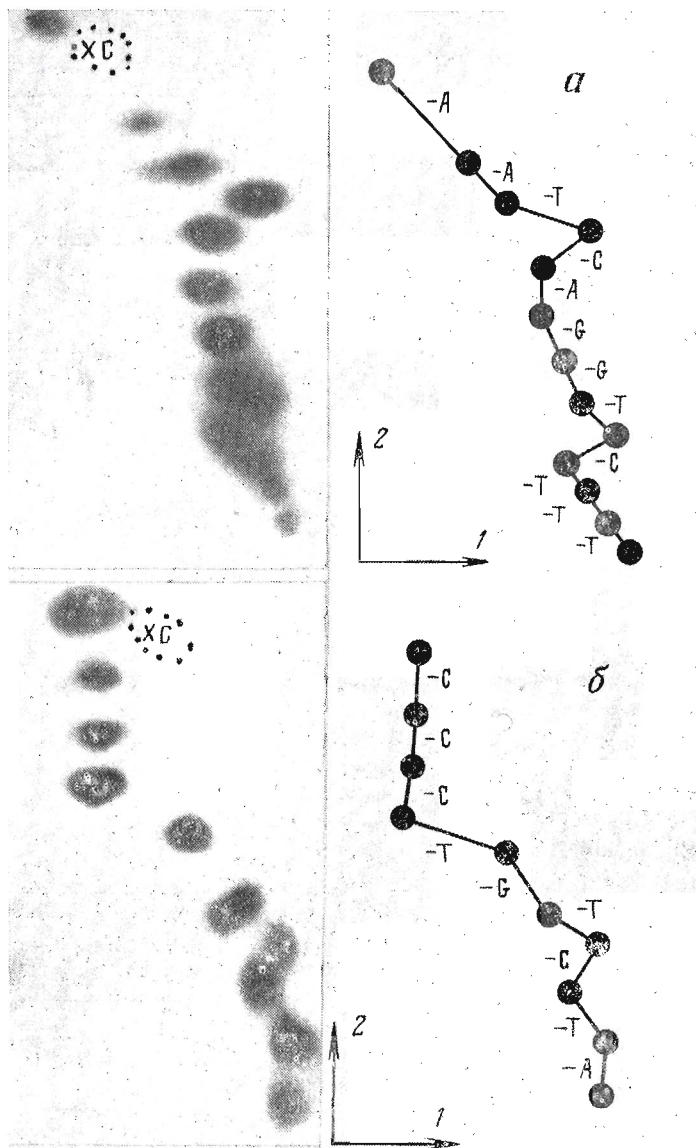


Рис. 3. Двухмерное разделение продуктов частичного гидролиза меченых сегментов. Направление 1 — электрофорез на ацетилцеллюлозе при рН 3,5; направление 2 — гомохроматография на пластинах (20×20 см) DEAE-целлюлозы (гомосмесь 6 [16]), XC — пятно красителя ксиленцианола FF. *а* — нуклеотидная карта тридекануклеотида $d(^{32}\text{p}A\text{-A-A-T-C-A-G-G-T-C-T-T-T})$, *б* — нуклеотидная карта декануклеотида $d(^{32}\text{p}A\text{-C-C-C-T-G-T-C-T-A})$

процедуре. Оба компонента реакции (P -компонент обычно брали в избытке относительно OH -компонента — см. табл. 1) растворяли в сухом пиридине (2 мл на ммоль нуклеотида), прибавляли конденсирующий реагент и выдерживали 4–5 ч при комнатной температуре. Реакцию останавливали прибавлением при -20°C 1 М раствора дииизопропилэтамина в пиридине (2 ммоль на ммоль сульфохлорида + 1 ммоль на мг-экв фосфата) и равного объема воды. Раствор выдерживали при 4°C 12–18 ч, после чего удаляли 3'-О-ацетильную группу (и 5'-цианэтильную группу в случае получения олигонуклеотидов с 5'-концевой фосфатной группой) обработкой 1 н. NaOH при 0°C 15–20 мин. Щелочь нейтрализовали избытком дауэкса

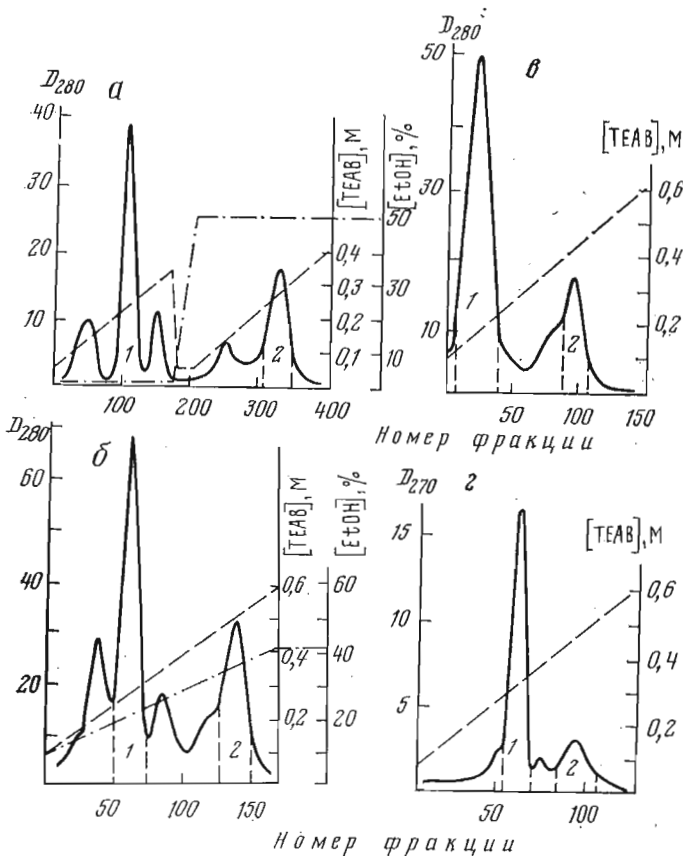


Рис. 4. Выделение защищенных олигонуклеотидов (III), (IV), (V), и (VI) хроматографией на DEAE-целлюлозе (HCO_3^- -форма). а – выделение (III), колонка 3×20 см, градиент концентрации TEAB и спирта, фракции по $9 \text{ мл}/4 \text{ мин}$, пик 1 – $17\ 000 \text{ OE}_{280}$ дипыкулеотида $d(\text{pT-anG})$, пик 2 – $9\ 000 \text{ OE}_{280}$ пентануклеотида (III); б – выделение (IV), колонка $2,5 \times 20$ см, градиент концентрации TEAB и спирта, фракции по $7 \text{ мл}/3 \text{ мин}$, пик 1 – $10\ 000 \text{ OE}_{280}$ динуклеотида $d(\text{pbzA-ibG})$, пик 2 – $6\ 800 \text{ OE}_{280}$ гептакарбоксилатного нуклеотида (IV); в – выделение (V), колонка 2×20 см, градиент концентрации TEAB в 40% спирте, фракции по $7,5 \text{ мл}/3 \text{ мин}$, пик 1 – $6\ 800 \text{ OE}_{280}$ динуклеотида $d(\text{pibG-T})$, пик 2 – $2\ 240 \text{ OE}_{280}$ вонануклеотида (V); г – выделение (VI), колонка 2×16 см, градиент концентрации TEAB в 30% спирте, фракции по $9 \text{ мл}/5 \text{ мин}$, пик 1 – $1\ 650 \text{ OE}_{270}$ тетрануклеотида $d(\text{panC-T-T-T})$, пик 2 – (700 OE_{270}) содержит тридекануклеотид (VI)

50 (PyH^+), смолу отфильтровывали. Дальнейшую обработку в зависимости от характера продуктов реакции проводили одним из следующих способов.

а) При выделении ди- и тринуклеотидов, содержащих 5'-монометокси-тритильную группировку, объединенные фильтраты упаривали досуха, остаток растворяли в 0,1 М TEAB (100 мл на 1 ммоль олигонуклеотида) и последовательно экстрагировали эфиром (3×100 мл), этилацетатом (2×100 мл), смесью этилацетат – *n*-бутанол, 9:1 (100 мл) и 8:2 (2×100 мл) и смесью хлористый метилен – *n*-бутанол, 7:3 (2×100 мл), контролируя ход извлечения с помощью ТСХ на силуфоле в водном ацетонитриле. Экстракти, содержащие продукт реакции, упаривали с пиридином и остаток осаждали из пиридина эфиром.

б) При выделении олигонуклеотидов, содержащих 5'-концевую фосфатную группу, объединенные фильтраты помещали на колонку с DEAE-целлюлозой или DEAE-седадексом, предварительно уравновешенными при 4°C 0,05 М TEAB в 10% спирте, колонку промывали стартовым бу-

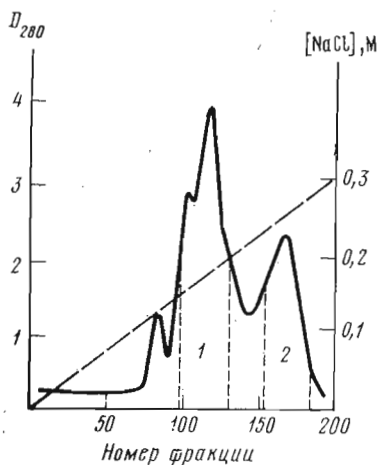


Рис. 5. Рехроматография тридекануклеотида (VI) на колонке с DEAE-целлюлозой (1×30 см, Cl⁻) в градиенте концентрации NaCl в 7 М мочевине и 0,01 М трис-HCl, pH 7,5, фракции по 4 мл/5 мин, пик 1 (380 ОЕ₂₈₀) содержит смесь ионануклеотида (V) и пироfosфата тетрануклеотида d(panC-T-T-T), пик 2 – 210 ОЕ₂₈₀ тридекануклеотида (VI)

фером для удаления пиридина и хроматографировали в градиенте концентрации TEAB в 10% спирте. Фракции, содержащие продукт реакции или возврат исходного материала, объединяли, концентрировали в вакууме в присутствии пиридинина, остаток растворяли в небольшом объеме сухого пиридинина (5 мл на 1 ммоль олигонуклеотида) и осаждали избытком эфира.

в) При выделении олигонуклеотидов длиной более четырех звеньев, содержащих на 5'-конце монометокситритильную группу, также применяли колоночную хроматографию на DEAE-целлюлозе, как это показано на рис. 4–6.

2. Выделение незащищенных сегментов (A) и (B) проводили следующим образом. а) d(A-A-A-T-C-A-G-G-T-C-T-T-T) (A). 40 ОЕ₂₈₀ защищенного тридекануклеотида (VI) обработали 4 мл 25% водного NH₃ (5 сут при комнатной температуре), раствор упарили досуха, прилили 3 мл 80% уксусной кислоты, выдержали 1 ч при 20°C и снова упарили. Остаток растворили в 30 мл 7 М мочевины и хроматографировали, как показано на рис. 5а.

б) d (A-C-C-C-T-G-T-C-T-A) (B) получен из 30 ОЕ₂₈₀ защищенного декануклеотида (VI) аналогично опыту 2а. Условия хроматографии и рехроматографии приведены на рис. 5б и в.

3. Анализ сегментов (A) и (B). а) 5'-Фосфорилирование. 0,05 ОЕ₂₈₀ (0,45–0,50 нмоль) олигонуклеотида инкубировали 30 мин при 37°C в 50 мкл раствора, содержащего 1 нмоль [γ -³²P] ATP, 0,05 М трис-HCl (pH 7,5), 0,01 М MgCl₂, 2 мМ дитиотрейт, 2 мМ спермин и 2 ед. акт. T4-полинуклеотидкиназы [15]. Реакционную смесь хроматографировали на колонке с сефадексом G-50 в 0,05 М TEAB, фракцию меченного олигонуклеотида (первый пик, 14–20·10⁶ имп/мин) упарили досуха и остаток растворили в 50 мкл воды.

б) Частичный гидролиз фосфодиэстеразой змеиного яда. Три порции ³²P-меченого олигонуклеотида (по ~100 000 имп/мин) упарили досуха, к остаткам прибавили по 1 мкл буфера, содержащего 0,05 М трис-HCl (pH 8,9), 0,01 М MgCl₂ и 1 мкл раствора фосфодиэстеразы змеиного яда в том же буфере (соответственно 50, 100 и 200 мкг/мл), и инкубировали 15 мин при 20°C. Все три гидролизата смешали и нанесли на полоску ацетилцеллюлозы (3×55 см), смоченную 7 М мочевиной при pH 3,5 (создается за счет уксусной кислоты); электрофорез проводили при 5000 В в течение 1 ч, используя в качестве электродного пиридин-ацетатный буфер (pH 3,5), а в качестве стандарта — смесь 1% растворов красителей (ксиленцианола FF, оранжевого G и кислого фуксина). Продукты гидролиза переносили на пластинку (20×20 см, толщина слоя 0,20 мм) со смесью целлюлозы MN-300 и DEAE-целлюлозы MN-300 (7,5:1) и хроматографировали в 2%

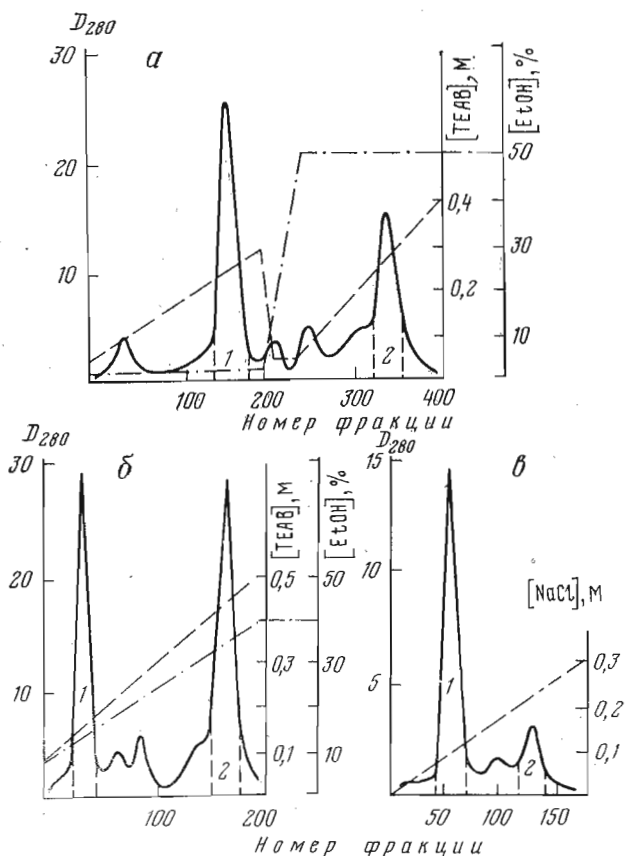


Рис. 6. Выделение защищенных олигонуклеотидов (IX), (X) и (XI) хроматографией на DEAE-целлюлозе. а – выделение (IX), колонка 3×25 см (HCO_3^-), градиент концентрации TEAB и спирта, фракции по 15 мл/3 мин, пик 1 – 8300 ОЕ₂₈₀ динуклеотида d(panC-T), пик 2 – 7500 ОЕ₂₈₀ пентануклеотида (IX); б – выделение (X), колонка 2×25 см (HCO_3^-), градиент концентрации TEAB и спирта, фракции по 10 мл/3 мин, пик 1 – 4700 ОЕ₂₈₀ динуклеотида d(pibG-T), пик 2 – 5000 ОЕ₂₈₀ гентануклеотида (X); в – выделение (XI), колонка 2×20 см (Cl^-), градиент концентрации NaCl в 7 М мочевине и 0,01 М три-НCl (рН 7,5), фракции по 7,5 мл/5 мин, пик 1 – 900 ОЕ₂₈₀ три-нуклеотида d(panC-T-bzA), пик 2 – 300 ОЕ₂₈₀ декануклеотида (XI)

томосмеси [16] при 60° С. Радиоавтограммы нуклеотидных карт сегментов (А) и (В) (пленка РМ-1, экспозиция 5 ч) приведены на рис. 6. Отнесение сдвигов мононуклеотидов было сделано на основании работ [16, 20].

Авторы глубоко признательны акад. Ю. А. Овчинникову за постоянное внимание и помошь при выполнении этой работы.

ЛИТЕРАТУРА

1. Овчинников Ю. А., Ефимов В. А., Чахмакчева О. Г. (1979) Биоорган. химия, 5, 138–144.
2. Gilbert W. (1976) in: RNA polymerase (Losick R., Chamberlin M., eds), pp. 193–205, Cold Spring Harbor Lab.
3. Ovchinnikov Yu. A., Lipkin V. M., Modyanov N. N., Chertov O. Yu., Smirnov Yu. V., Khokhryakov V. S., Shubaeva T. M. (1977) FEBS Letters, 76, 108–111.
4. Johnsrud L. (1978) Proc. Nat. Acad. Sci. USA, 75, 5314–5318.
5. Okamoto T., Sugimoto K., Sugisaki H., Takanami M. (1977) Nucl. Acids Res., 4, 2213–2222.
6. Brown E. L., Belagaja R., Fritz H.-J., Fritz R. H., Norris K. (1977) Fed. Proc., 36, 732.
7. Frischau A. M., Scheit K. H. (1973) Biochem. and Biophys. Res. Communs, 53, 1227–1233.

8. Свердлов Е. Д., Царев С. А., Модянов Н. Н., Липкин В. М., Грачев М. А., Зайчинков Е. Ф., Плетнев А. Г. (1978) Биоорганическая химия, 4, 1278—1281.
9. Sugimoto K., Sugisaki H., Okamoto T., Takanami M. (1975) Nucl. Acids Res., 2, 2091—2100.
10. Schaller H., Gray C., Herrmann K. (1975) Proc. Nat. Acad. Sci. USA, 72, 737—741.
11. Khorana H. G., Agarwal K. L., Besmer P., Buchi H., Caruthers M. H., Cashion P. J., Fridkin M., Lay E., Kleppe K., Kleppe R., Kumar A., Loewen P., Miller R. C., Minamoto K., Panet A., RajBhandary U. L., Ramamoorthy B., Sekiya T., Takeya T., van de Sande J. H. (1976) J. Biol. Chem. 251, 565—570.
12. Minamoto K., Caruthers M. H., Ramamoorthy B., van de Sande J. H., Sidorova N., Khorana H. G. (1976) J. Biol. Chem., 251, 587—598.
13. Richardson C. (1965) Proc. Nat. Acad. Sci. USA, 54, 158—165.
14. Sanger F. (1973) in: Virus Research (Fox C. F., Robinson W. S. eds), pp. 573—599, Academic Press, New York — London.
15. Panet A., van de Sande J. H., Loewen P. C., Khorana H. G., Raae A. J., Lillehaug J. R., Kleppe K. (1973) Biochem., 12, 5045—5050.
16. Jay E., Bambara R., Padmanabhan R., Wu R. (1974) Nucleic Acids Res., 1, 331—353.
17. Берлин И. А., Дьяков В. Л., Колосов М. Н. (1974) Биохимия, 39, 747—751.
18. Weber H., Khorana H. G. (1972) J. Mol. Biol., 72, 219—249.
19. Caruthers M. H., van de Sande J. H., Khorana H. G. (1972) J. Mol. Biol., 72, 375—405.
20. Tu C.-P. D., Jay E., Bahl C. P., Wu R. (1976) Anal. Biochem., 74, 73—93.

Поступила в редакцию
26.III.1979

THE SYNTHESIS OF A PROMOTER REGION OF BACTERIOPHAGE *fd* DNA.

I. THE CHEMICAL SYNTHESIS OF THE OLIGODEOXYRIBONUCLEOTIDES CORRESPONDING TO THE 5'-TERMINAL FRAGMENT OF THE MINUS STRAND OF THE PROMOTER

EFIMOV V. A., CHAKHMAKHCHEVA O. G.

*M. M. Shemyakin Institute of Bioorganic Chemistry,
Academy of Sciences of the USSR, Moscow*

The chemical synthesis of the deoxyribonucleotides d(A-A-A-T-C-A-G-G-T-C-T-T-T) and d(A-C-C-C-T-G-T-C-T-A) corresponding to the (+15) — (-8) fragment of the minus strand of the G2 promoter region of phage *fd* DNA has been carried out by the phosphodiester approach according to the 1+1+1+2+2+2+4 and 1+1+1+2+2+3 schemes. The compounds obtained were 5'-phosphorylated by [γ -³²P] ATP and T4 polynucleotide kinase and their structure was confirmed by fingerprinting technique.